

4. 結 言

18-8系ステンレス鋼線の機械的性質におよぼす諸因子の影響を調べ、つきの結果を得た。

① 伸線加工による機械的性質の変化は成分、熱処理条件に影響される。

② 伸線加工各段階のものに同一水韌処理($1150^{\circ}\text{C} \times 1\text{ min} \rightarrow \text{WQ}$)を行なつても加工率の影響を完全に除去することができず、加工率とともに抗張力は増加する。

③ $2\cdot2\text{ mm f}$ 水韌後の抗張力は水韌前の加工率に影響され、かつ熱処理時間を変えてその影響は除去されない。

以上のうち②、③はおもに集合組織の形成度によることを明らかにした。

文 献

- 1) 渡辺: 日本金属学会誌, 22 (1958), p. 120
- 2) K. W. ANDREWS: J. Iron & Steel Inst. (U. K.), 184 (1956), p. 274
- 3) T. ANGEL: J. Iron & Steel Inst. (U. K.), 177 (1954), p. 165
- 4) 石橋: 日本機械学会論文集, 199 (1961), p. 158

669187.26:621.3.036-66

(281) エレクトロスラグ溶解法による
Fe-Cr-Al電熱材について

理研ピストンリング工業研究所

小林 公正・○小川 清彦

On the Fe-Cr-Al Heating Element by the
Electroslag Melting Process

Kimimasa KOBAYASHI and KIYOHICO OGAWA

1. 緒 言

近年、特殊鋼たとえばステンレス鋼、軸受鋼、耐熱鋼または工具鋼などの製造にいわゆるエレクトロスラグ溶解法を採用すると、均質で高純度の鋼塊を比較的容易に溶製できることが知られている¹⁾。当研究所では10年ほど前から独自の開発研究を続けエレクトロスラグ溶解法によりFe-Cr-Al系高性能電熱材の工業的製造に成功している²⁾³⁾。

本実験はエレクトロスラグ溶解が電熱材の諸性質におよぼす影響を調べるために、ほぼ同一成分からなるFe-Cr-Al合金(27Cr-7Al-0.45Ti)をエレクトロスラグ溶解法および高周波溶解法で溶製し、両溶解法の差異を比較したものである。

2. 供 試 材 料

両溶解法とも原材料は脱炭せる軟鋼パイプ、JISG 2303 低炭素Fe-Cr 2号、JISG 2309 低炭素Fe-Ti 1号およびJISH 4181 特2種のAlをそれぞれ用いた。Table 1に原材料の化学組成を示す。

通常エレクトロスラグ溶解法は交流電源を使用し、電極はあらかじめ溶解された合金を用い、これをスラグ浴中で溶解するのであるが、本実験では直流電源を用い、電極は原材料のままこれを複合電極として溶解した。Table 2にその溶解条件を示す。

高周波溶解法は約300kVAの炉を使用した。ライニングはMgOを用い、原材料は軟鋼パイプ、Fe-Cr、Fe-TiおよびAlの順序で投入し、出湯温度は 1700°C で、160mm f のインゴットケースに注湯した。溶解時間は約1hrで鋼塊重量は110kgであった。

これらの鋼塊を2寸のドロップハンマーで100mm fに鍛造し、さらに熱間圧延で8mm fとし、その後温間または冷間で4mm f、2mm fおよび0.5mm fまで

Table 1. Chemical composition of raw materials (%).

Raw material	C	Si	Mn	P	S	Cr	Al	Ti	Cu	Zn	Fe
Fe(Mild steel)	0.0028	0.020	0.38	0.012	0.023	0.025	0.031	0.01	—	—	Bal.
Fe-Cr	0.025	0.60	—	0.026	0.016	62.67	—	—	—	—	〃
Fe-Ti	0.07	0.90	0.18	0.002	0.014	—	6.87	41.25	—	—	〃
Al	—	0.014	N.D.	—	—	Bal.	—	0.02	N.D.	—	—

Table 2. The conditions of electroslag melting.

Size of ingot (mm f)	Weight of ingot (kg)	Electrical condition		Electric power/ unit weight (kWh/kg)	Flux
		Voltage (V)	Ampere (A)		
165	120	40	5500	1.46	CaF ₂

Table 3. Chemical composition and electrical resistivity of specimens.

Specimen	Composition (%)								Electrical resistivity ($\mu\Omega\text{-cm}$)	Melting method
	C	Si	Mn	P	S	Cr	Al	Ti		
A	0.024	0.21	0.24	0.017	0.005	26.86	6.88	0.45	157.7	Electroslag furnace
B	0.034	0.58	0.26	0.018	0.016	26.63	6.80	0.43	156.1	Induction furnace

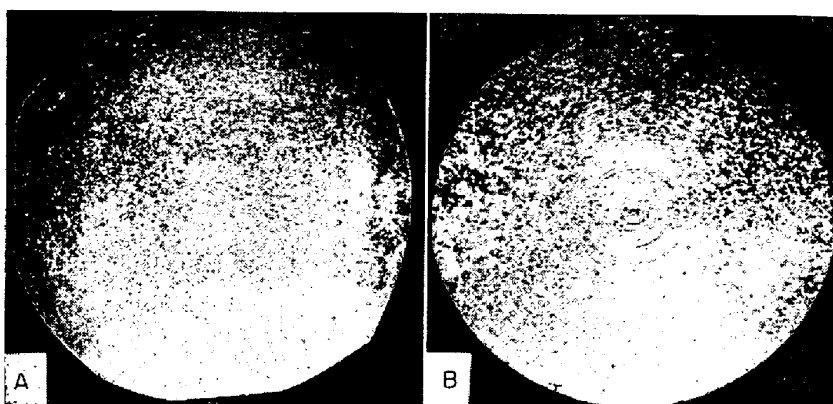


Photo. 1. Macrostructure of 100 mm ϕ forged billet (etched with 10% sulfuric acid).

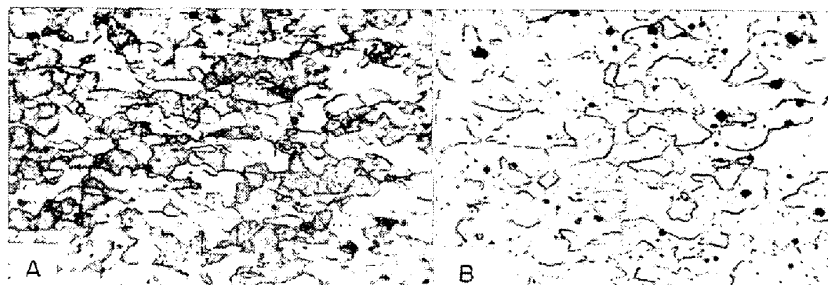


Photo. 2. Microstructure of 8 mm ϕ rod (etched with 70% aqua regia heat treatment: 735°C \times 30 min in air.)

Table 4. Cleanliness of specimens.

Specimen	Cleanliness amount of inclusions (%)
A	0.328
B	0.639

伸線した。

Table 3 に供試材料の化学組成 (8 mm ϕ で試験) および固有抵抗 (4 mm ϕ で試験) を示す。なお目標合金成分は 27Cr-7Al-0.45Ti である。

3. 実験方法とその結果

3.1 組織写真

鍛造後 100 mm ϕ ピレットの横断面を観察したマクロ組織写真を Photo. 1、また 735°C \times 30 min の熱処理をほどこした 8 mm ϕ の縦断面の顕微鏡組織写真を Photo. 2 に示す。

3.2 清浄度

試料は 8 mm ϕ より採取し、400 倍の光学顕微鏡で測定視野数 60 をもつて測定した。その結果を Table 4 に示す。

3.3 引張試験およびシャルピー衝撃試験

引張試験では 8 mm ϕ 、4 mm ϕ 、および 2 mm ϕ について行ない、抗張力、伸び、絞りを測定した。標点距離はすべて 100 mm である。またシャルピー衝撃試験は 8 mm ϕ \times 65 mm の試料で行なつた。なお試料の熱処理温度は 8 mm ϕ は 735°C \times 30 min、4 mm ϕ と 2 mm ϕ は 690°C \times 40 min である。その結果を Fig. 1 および

Fig. 2 に示す。

3.4 寿命試験および酸化增量

寿命試験は 0.5 mm ϕ の試料を用い、JISC 2524 に規定された U 法の 1300°C でおこなつた。その結果を Table 5 に示す。また酸化增量では 6.5 mm ϕ \times 30 mm の試料の全表面をエメリー紙 0~4 まで研磨し、試験温度 1250°C の実験炉で 25 hr 加熱後重量増加を測定した。その結果を Table 5 および Fig. 3 に示す。

4. 考察

4.1 溶製材の合金成分、清浄度および結晶組織

Table 3 から明らかなように主成分である Cr, Al, Ti は両溶解材にほとんど差は認められない。しかし Si, S ではかなりの差を生じている。高周波溶解の場合 Si 量が Table 1 に示した原材料から混入する計算量 (0.18%) より多いのはライニング材の SiO₂ が一部還元されて鋼塊中に溶解し増加したものと思われる。S はこれまでにエレクトロスラグ溶解法では、スラグと溶湯が反応し、脱硫がおこなわれるとされている⁴⁾。本実験でも両溶解材は Table 1 に示した原材料含有量から S は約 0.018% 混入することが期待されるが、エレクトロスラグ溶解材は 0.005% であり、高周波溶解材にくらべ、脱硫が著しく行なわれていることがわかる。

清浄度は、Table 4 に示したようにエレクトロスラグ溶解材が良好である。

マクロ組織は Photo. 1 に示したように、エレクトロスラグ溶解材が結晶組織がやや緻密でまた均一である。

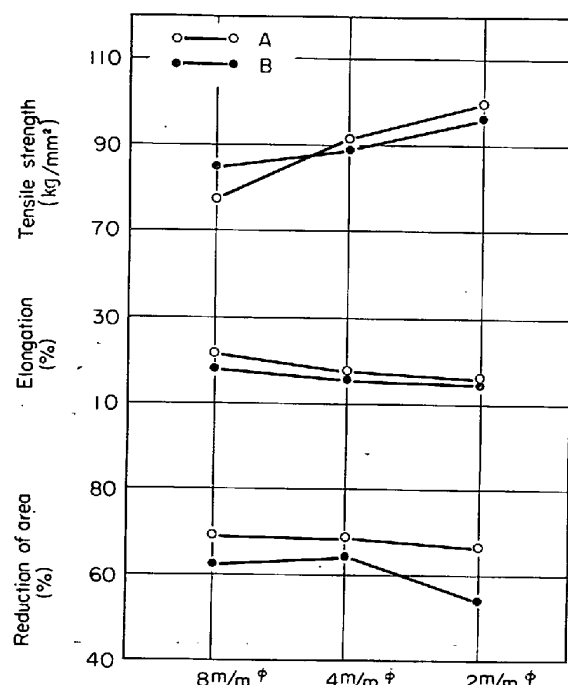


Fig. 1. Mechanical properties.

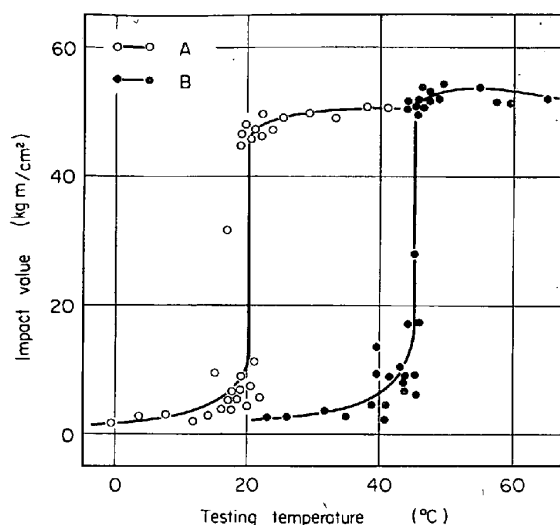


Fig. 2. Relations between impact value and testing temperature.

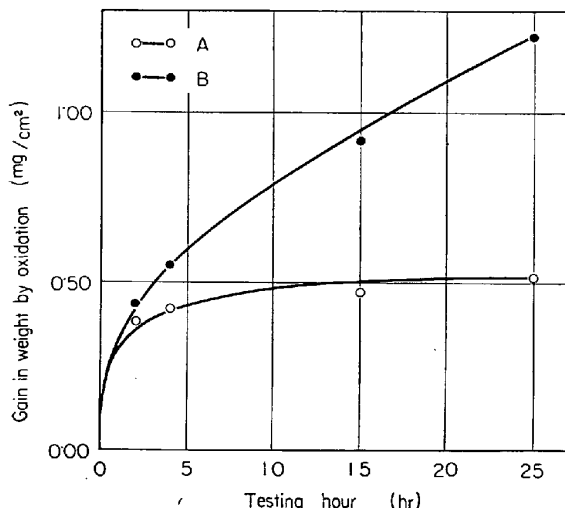


Fig. 3. Relations between gain in weight by oxidation and testing hour at 1250°C.

Table 5. Life value and gain in weight by oxidation of specimens.

Specimen	Life value U type 1300°C (cycle to rupture)	Grain in weight by oxidation 1250°C × 25hr (mg/cm²·hr)
A	397	0.0204
B	255	0.0487

4.2 機械的性質

Fig. 1 より抗張力、伸びおよび絞りは両溶解材にさほど差は認められない。しかし、Fig. 2 に明らかなように靭性-脆性的遷移温度はエレクトロスラグ溶解材が 20°C であるのにたいし、高周波溶解材では 45°C であり、両者に著しい差が生じた。遷移温度がエレクトロスラグ溶解の場合低温側にあることは鍛造、熱間圧延などが比較的困難な Fe-Cr-Al 系合金を加工する場合に高

周波溶解材にくらべ有利であることを示している。この相違については前述したようにエレクトロスラグ溶解材の結晶組織が緻密で均一で、清浄度も良好であることが、そのおもな原因と考えられる。

4.3 寿命値および酸化增量

寿命値では Table 5 により、エレクトロスラグ溶解材が 1.5 倍以上も長く、酸化增量も Table 5 および Fig. 3 よりエレクトロスラグ溶解材のほうが少ない。

Fig. 3 より明らかなようにエレクトロスラグ溶解材の酸化增量は 10hr 以上の酸化時間ではほぼ一定値に達しているが、高周波溶解材は 25hr の酸化時間でもなお増加の傾向を示している。これはエレクトロスラグ溶解材が高周波溶解材にくらべ、高温酸化時に試料の表面に緻密で剥離しにくい Al₂O₃ 被膜を生成するためであると考えられる。

5. 結 言

Fe-Cr-Al 系電熱材合金 (27Cr-7Al-0.45Ti) をエレクトロスラグ溶解法で溶製し、機械的性質および電熱材の諸特性を測定した結果、通常の高周波溶解材にくらべ寿命値および酸化增量試験結果が良好であり、また遷移温度が低温側に約 20°C 移行し、電熱材として優れた結果が得られた。

実験に当たつてご指導下さった当社真殿常務および虎石研究所長に厚く感謝の意を表します。

文 献

- 1) A. F. TREGUBENKO and S. A. LEIBENZON: エレクトロスラグ再溶解法, (昭 39-5), 日ソ通信社
- 2) 真殿: 日本特許, No. 263047
- 3) 真殿: 日本特許公告, 昭 35-16201
- 4) A. C. WILLIAMS: J. Iron & Steel Inst (U. K.), (1964), p. 581

669.14.08.252.3
621.73.01.539.4

(284) 高速度鋼の組織および各種性質におよぼす鋼塊サイズ、鍛造比の影響

日立金属、安来工場

工博 新持喜一郎・清永欣吾・○渡辺力藏
Effect of Ingot Size and Forging Ratio on
the Structure and Various Properties of High
Speed Steels

Dr. Kiichiro SHINJI, KINGO KIYONAGA
Rikizo WATANABE

1. 緒 言

高速度鋼の組織あるいは各種性質は鋼塊サイズや鍛造比などの熱間加工条件によってきわめて大きな影響を受けるので、とくに太物高速度鋼の製造にあたつては、これらの熱間加工条件と組織や性質との関係を熟知した上で鍛造方案を立てる必要がある。これまでも熱間加工条件と組織や性質との関係については断片的には古くから研究されているが^{1,2)}、十分系統的に行なつた研究はあまりないようである。またこれまでの高速度鋼の組織評価は標準写真との比較や縞状炭化物集団の幅の測定など